

Note: Comprueba que el voltaje en la entrada inversora es -
aproximadamente 0 volta. ~~APLICACIONES DE LOS AMPLIFICADORES~~

REPORTE.

1. Detallar el procedimiento seguido al experimentar con el amplificador inversor. Incluya las gráficas solicitadas y compare los resultados experimentales con los valores esperados teóricamente.
2. Detallar el procedimiento seguido al experimentar con el amplificador no inversor. Incluya las gráficas solicitadas y compare los resultados experimentales con los valores esperados teóricamente.
3. Explique el procedimiento realizado al experimentar con el amplificador sumador. Muestre las formas de onda y la justificación de ellas.
4. Explique el procedimiento realizado al experimentar con el amplificador diferencial. Muestre las formas de onda y la justificación de ellas.
5. Cuál es la impedancia de entrada del amplificador inversor comparado con el no inversor.
6. Mencione algunas aplicaciones de los amplificadores Inversor, no inversor, sumador y diferencial.

APENDICE

ECUACIONES DE LOS ATENUADORES

S.B

R = R₀R = R_{0</}

haciendo

$$R_2 R_3 = R_o^2 \quad B.1$$

se obtiene:

$$R_o = R_1 \quad B.2$$

La segunda fórmula que nos es útil en nuestro trabajo es la cantidad de atenuación que hay de la entrada a la salida del atenuador cargado con su resistencia característica. fig.B.2.

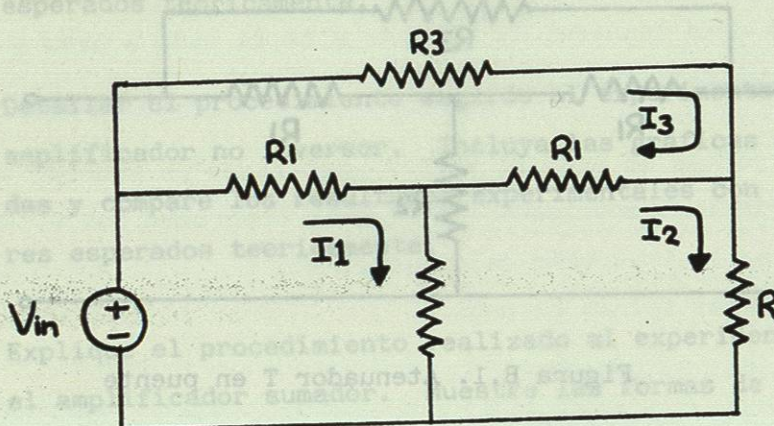


Figura B.2 Circuito para calcular la atenuación a

De la fig. B.2., las ecuaciones de malla son:

$$V_{in} = I_1 (R_1 + R_2) - I_2 R_2 - I_3 R_1 \quad B.3$$

$$0 = -I_1 R_2 + I_2 (R_2 + 2R_1) - I_3 R_1$$

$$0 = -I_1 R_1 - I_2 R_1 + I_3 (2R_1 + R_3)$$

$$y \quad V_o = I_2 R_o \quad B.4$$

Resolviendo las ecuaciones B.3 para I_2 encontramos que $I_2 = \frac{V_{in}}{R_1 + R_3}$
sustituyendo en la ecuación B.4.

$$V_o = \frac{R_o V_{in}}{R_1 + R_3}$$

$$a = \frac{V_{in}}{V_o} = 1 + \frac{R_3}{R_1} \quad R_3 = \frac{R_o^2}{R_2} = \frac{R_1^2}{R_2}$$

$$a = 1 + \frac{R_1}{R_2}$$

De la ecuación B.5., despejando R_2 y de la ecuación B.2.

$$(1+a) R_2 = \frac{R_o}{a-1}$$

de la ecuación B.1.

$$R_2 R_3 = R_o^2 \quad B.8$$

$$R_3 = (a-1) R_o \quad B.9$$

Resumiendo tenemos que las ecuaciones de análisis son:

$$R_o = R_1 \quad B.10$$

$$a = 1 + \frac{R_1}{R_2} \quad B.11$$

$$R_o^2 = R_2 R_3 \quad B.12$$

y las ecuaciones de diseño son:

$$R_1 = R_o$$

$$R_2 = \frac{R_o}{a-1}$$

$$R_3 = (a-1) R_o$$

Ahora obtendremos las ecuaciones de análisis y diseño para el atenuador pi. Para eso seguiremos el mismo método utilizado para la obtención de las ecuaciones del atenuador T en puente.

En la fig. B.3 se muestra el atenuador pi.

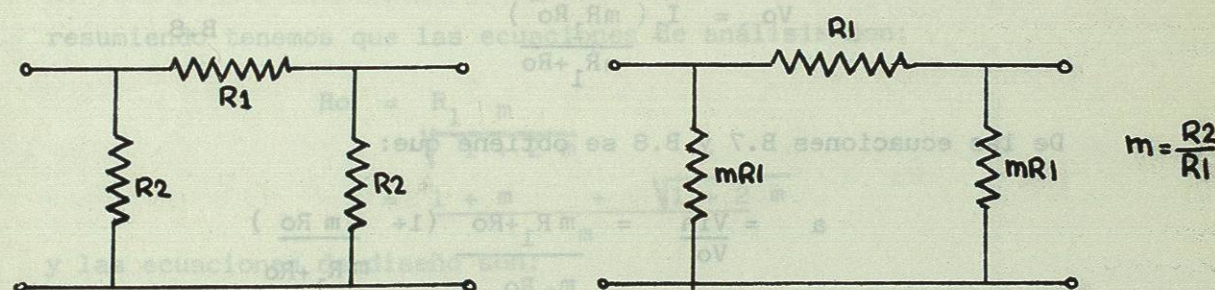


Figura B.3 Atenuador Pi

Las resistencias R_{ins} y R_{no} son:

$$R_{no} = m R_1 / (R_1 + m R_1) = \frac{R_1 m (m+1)}{2m+1}$$

$$R_{ins} = m R_1 / R_1 = \frac{R_1 m}{m+1}$$

$$R_o = \sqrt{R_{ins} R_{no}} \quad B.6$$

$$R_o = \frac{R_1 m}{\sqrt{2m+1}}$$

El factor de atenuación se obtiene de la fig. B.4.

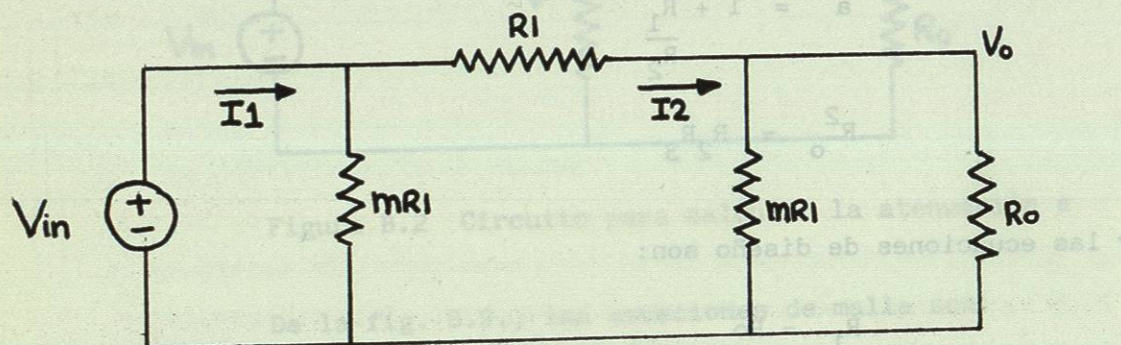


Figura B.4 Circuito para obtener la atenuación a

Las ecuaciones de malla son:

$$V_{in} = I_1 m R_1 - I_2 m R_1 \quad B.7$$

$$0 = -I_1 m R_1 + I_2 (m R_1 + R_1 + \frac{m R_1 R_o}{m R_1 + R_o})$$

$$V_o = I_1 (\frac{m R_1 R_o}{m R_1 + R_o}) \quad B.8$$

De las ecuaciones B.7 y B.8 se obtiene que:

$$a = \frac{V_{in}}{V_o} = \frac{m R_1 + R_o}{m R_1} (1 + \frac{m R_o}{m R_1 + R_o})$$

sustituyendo R_o de la ecuación B.6 en

$$a = \frac{1+m}{\sqrt{1+2m}} \quad B.9$$

de las ecuaciones de diseño se obtienen como sigue:

tenemos que $a = \frac{R_2}{R_1}$ y de la ecuación B.6

$$\frac{R_2}{R_1} = \sqrt{1+2m} = \frac{R_1 m}{R_o} = \frac{R_2}{R_o} \quad B.10$$

sustituyendo la ecuación B.10 en B.9

$$a = \frac{R_1}{R_2} + 1 + \frac{R_1}{R_o} \quad B.11$$

de la ecuación B.10

$$R_1 = \frac{2 R_2 R_o}{R_2^2 - R_o} \quad B.12$$

de B.11

$$R_2 = \frac{R_1 R_o}{R_o (a-1) - R_1}$$

sustituyendo R_2 en la ecuación B.12 y resolviendo para R_1 se obtiene

$$R_1 = \frac{R_o (a^2 - 1)}{2a}$$

Para obtener R_2 sustituímos R_1 de la ecuación B.12 en la ecuación B.11 y resolvemos para R_2

$$R_2 = \frac{R_o (1+a)^2}{a-1}$$

Si tomamos el signo negativo, entonces

$$R_2 = -R_o$$

que no es cierto, por lo tanto tomamos el signo positivo y

$$R_2 = \frac{R_o (1+a)}{a-1}$$

resumiendo tenemos que las ecuaciones de análisis son:

$$R_o = \frac{R_1 m}{\sqrt{1+2m}} = \frac{1+m}{m} + \sqrt{1+2m}$$

y las ecuaciones de diseño son:

$$R_1 = \frac{(a^2 - 1)}{2a} R_o$$

$$R_2 = \frac{(a+1) R_o}{a-1}$$

EJEMPLO:

Diseñar un atenuador con las siguientes especificaciones

Resistencia de salida de 600 Ω

$$R_Q = 600 \Omega$$

Atenuación de 10

$$a = 10$$

De las ecuaciones de diseño se tiene:

$$R_1 = \frac{(a^2 - 1)}{2a} R_o \quad B.1$$

$$R_1 = \frac{(C10)^2 - 1}{2C10} \quad 600$$

$$R_1 = 2970 \Omega$$

$$R_2 = \frac{(a + 1)}{a - 1} \quad Ro$$

$$R_2 = \frac{10 + 1}{10 - 1} \quad 6$$

$$R_s = 733.33$$

Obsérvese que los valores obtenidos no son comerciales, por lo que hay que utilizar resistencias de presión de 1%. De otra manera si se aproximan R_1 y R_2 a sus más cercanos que son:

$$R_s = 2.7 \text{ K}$$

$$R_2 = 720 \Omega$$

Despejando A y R_o de las ecuaciones B.9 y B.6 se tiene:

$$a = \frac{1+m+1+2m}{1}$$

De las ecuaciones 3.7 y 3.8 se muestra que

$$Ro = \frac{R_1 m}{2m+1}$$

en donde

$$m = \frac{R_2}{R_1}$$

sustituyendo se tiene

$$m = \frac{720}{2700} = .266$$

$$a = 9.39$$

$$R_2 = 581.33$$

Diseñar un atenuador con las siguientes especificaciones:

Resistencia de salida

TYPES 2N3903, 2N3904, A5T3903, A5T3904 N-P-N SILICON TRANSISTORS

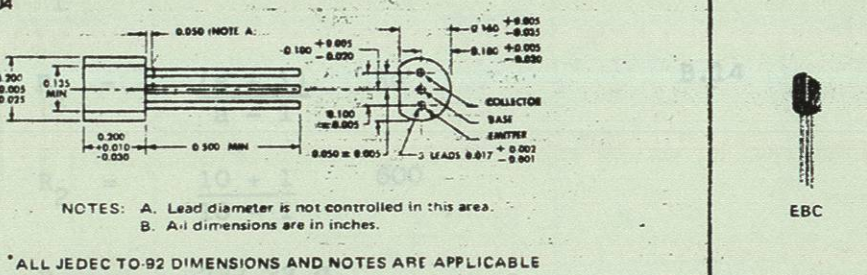
BULLETIN NO. DL-S 7311576, NOVEMBER 1971—REVISED MARCH 1973

- SELECT[†] TRANSISTORS[‡]**
FOR GENERAL PURPOSE SATURATED-SWITCHING AND AMPLIFIER APPLICATIONS
- For Complementary Use with P-N-P Types 2N3905, 2N3906, A5T3905, and A5T3906
 - Rugged One-Piece Construction with In-Line Leads or Standard TO-18 100-mil Pin-Circle Configuration

mechanical data

These transistors are encapsulated in a plastic compound specifically designed for this purpose, using a highly mechanized process developed by Texas Instruments. The case will withstand soldering temperatures without deformation. These devices exhibit stable characteristics under high-humidity conditions and are capable of meeting MIL-STD-202C, Method 106B. The transistors are insensitive to light.

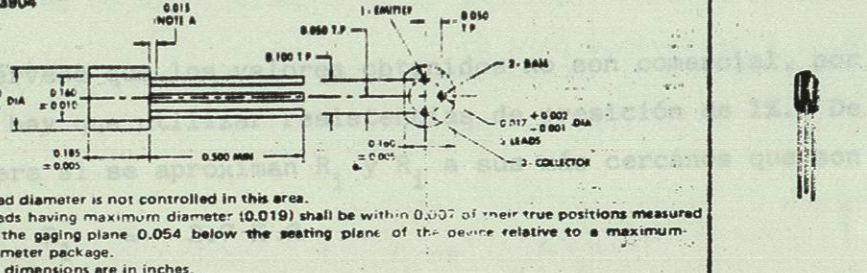
2N3903, 2N3904



EBC



A5T3903, A5T3904



EBC



absolute maximum ratings at 25°C free-air temperature (unless otherwise noted)

Collector-Base Voltage	60 V*
Collector-Emitter Voltage (See Note 1)	40 V*
Emitter-Base Voltage	6 V*
Continuous Collector Current	200 mA*
Continuous Device Dissipation at (or below) 25°C Free-Air Temperature (See Note 2)	{ 625 mW\$ 310 mW*
Storage Temperature Range	{ -65°C to 150°C\$ -55°C to 135°C*
Lead Temperature 1/16 Inch from Case for 60 Seconds	{ 260°C\$ 230°C*

TYPES 2N3903, 2N3904, A5T3903, A5T3904 N-P-N SILICON TRANSISTORS

*electrical characteristics at 25°C free-air temperature

PARAMETER	TEST CONDITIONS	2N3903, A5T3903		2N3904, A5T3904		UNIT
		MIN	MAX	MIN	MAX	
V(BR)CBO Breakdown Voltage	I _C = 10 μA, I _E = 0	60		60		V
V(BR)CEO Collector-Emitter Breakdown Voltage	I _C = 1 mA, I _B = 0, See Note 3	40		40		V
V(BRI)EBO Emitter-Base Breakdown Voltage	I _E = 10 μA, I _C = 0	6		6		V
I _{CEV} Collector Cutoff Current	V _{CE} = 30 V, V _{BE} = -3 V		50		50	nA
I _{BEV} Base Cutoff Current	V _{CE} = 30 V, V _{BE} = -3 V		-50		-50	nA
h _{FE} Static Forward Current Transfer Ratio	V _{CE} = 1 V, I _C = 100 μA	20		40		
	V _{CE} = 1 V, I _C = 1 mA	35		70		
	V _{CE} = 1 V, I _C = 10 mA	50	150	100	300	
	V _{CE} = 1 V, I _C = 50 mA	30		60		
	V _{CE} = 1 V, I _C = 100 mA	15		30		
V _{BE} Base-Emitter Voltage	I _B = 1 mA, I _C = 10 mA	0.65	0.85	0.65	0.85	V
	I _B = 5 mA, I _C = 50 mA	0.95		0.95		
V _{CE(sat)} Collector-Emitter Saturation Voltage	I _B = 1 mA, I _C = 10 mA	0.2		0.2		V
	I _B = 5 mA, I _C = 50 mA	0.3		0.3		
h _{ie} Small-Signal Common-Emitter Input Impedance		1	8	1	10	kΩ
h _{fe} Small-Signal Common-Emitter Forward Current Transfer Ratio	V _{CE} = 10 V, I _C = 1 mA	50	200	100	400	
h _{re} Small-Signal Common-Emitter Reverse Voltage Transfer Ratio	f = 1 kHz	0.1 X	5 X	0.5 X	8 X	
h _{oe} Small-Signal Common-Emitter Output Admittance	f = 1 kHz	10 ⁻⁴	10 ⁻⁴	10 ⁻⁴	10 ⁻⁴	
h _{fe} Small-Signal Common-Emitter Forward Current Transfer Ratio	V _{CE} = 20 V, I _C = 10 mA, f = 100 MHz	2.5		3		
f _T Transition Frequency	V _{CE} = 20 V, I _C = 10 mA, See Note 4	250		300		MHz
C _{CEO} Common Base Open-Circuit Output Capacitance	V _{CB} = 5 V, I _E = 0, f = 100 kHz to 1 MHz	4		4		pF
C _{CO} Common-Base Open-Circuit Input Capacitance	V _{EB} = 0.5 V, I _C = 0, f = 100 kHz to 1 MHz	8		8		pF

NOTES: 3. These parameters must be measured using pulse techniques, t_{tr} = 300 μs, duty cycle ≤ 2%.

4. To obtain f_T, the |h_{fe}| response with frequency is extrapolated at the rate of -76 dB per octave from f = 100 MHz to the frequency at which |h_{fe}| = 1.

*operating characteristics at 25°C free-air temperature

PARAMETER	TEST CONDITIONS	2N3903 A5T3903		2N3904 A5T3904		UNIT
		MIN	MAX	MIN	MAX	
NF Average Noise Figure	V _{CE} = 5 V, I _C = 100 μA, R _G = 1 kΩ, Noise Bandwidth = 15.7 kHz, See Note 5	6		5		dB

NOTE 5: Average Noise Figure is measured in an amplifier with response down 3 dB at 10 Hz and 10 kHz and a high-frequency roll-off of 6 dB/octave.

*The asterisk identifies JEDEC registered data for the 2N3903 and 2N3904 only.